

文章编号: 1001-1498(2001)02-0125-06

RA PD 标记在桉属种间杂交一代的分离方式研究

甘四明¹, 施季森², 白嘉雨¹, 吴坤明¹, 吴菊英¹

(1. 中国林业科学研究院 热带林业研究所, 广东 广州 510520;

2 南京林业大学 林木遗传与基因工程实验室, 江苏 南京 210037)

摘要: 以 1 个尾叶桉 \times 细叶桉全同胞家系的 2 个亲本和 212 个子代为材料, 利用 RA PD 分子标记技术进行了 RA PD 标记在桉树中的分离方式研究。结果表明: 7 个随机引物共扩增出 40 个标记, 标记在 F_1 代的分离方式可以分为两类: 符合孟德尔方式和偏离孟德尔方式。符合孟德尔方式的标记包括: 亲本均有而在子代中不分离的 9 个(在这类位点上代表的杂交组合为 AA \times AA、AA \times Aa 或 Aa \times AA), 亲本间呈多态性而在子代中不分离的 7 个(aa \times AA 或 AA \times aa), 亲本间均有而在子代中 1 : 1 分离的 2 个(Aa \times Aa), 亲本间呈多态性且在子代中 1 : 1 分离的 9 个(Aa \times aa 或 aa \times Aa)。偏分离的标记包括: 亲本间呈多态性而在子代中偏离 1 : 1 分离的 12 个, 两亲本均有而在子代中偏离 3 : 1 分离的 1 个。亲本间呈多态性且在子代中 1 : 1 分离的位点在拟测交策略中可以用于遗传连锁图谱构建, 这为利用 RA PD 标记构建桉树遗传连锁图谱提供了理论支持。

关键词: RA PD 标记; 桉树属; 分离

中图分类号: S722.3 **文献标识码:** A

随机扩增多态性 DNA (Random amplified polymorphic DNA, RA PD) 分子标记技术自 1990 年产生以来^[1, 2], 因操作简捷、多态性丰富而在生命科学各领域广为应用^[3, 4]。林木上, RA PD 标记已成功用于遗传连锁图谱构建^[5]。RA PD 为显性标记, 而林木常用的作图群体为 F_1 谱系, 所以采用的作图策略为拟测交策略 (Pseudo-testcross strategy)^[6, 7], 即某一亲本上杂合(显示该位点谱带, 基因型 Aa)而另一亲本上隐性纯合(无该位点谱带, 基因型 aa)的位点(谱带)在其全同胞子代中将呈 1 : 1 分离, 类似测交的分离方式。因此, RA PD 标记连锁图谱构建以前, 进行 RA PD 位点的遗传分离研究可以为遗传图谱构建提供理论基础。

一般认为, RA PD 标记在杂种一代中的分离符合孟德尔遗传规律^[8], 但偏分离的情况在拟南芥 (*Arabidopsis thaliana* Heynh.)^[9] 和针叶树^[10] 等研究中仍然存在, 即使对完全或部分双列杂交材料的研究中, 偏分离位点的比例仍较高^[8, 10]。本研究利用尾叶桉 (*Eucalyptus urophylla* S. T. Blake) \times 细叶桉 (*E. tereticornis* Smith) 的 2 个亲本和 212 个子代个体, 在较大群体材料

收稿日期: 2000-03-13

基金项目: 国家自然科学基金项目(39870619)和国际科学基金项目(International Foundation for Science, IFS) (D/2947-1)

作者简介: 甘四明(1970-), 男, 四川邻水人, 助理研究员, 农学博士

的基础上分析 RA PD 标记在杂种子代中的分离模式, 以期为桉树 RA PD 标记连锁图谱构建提供理论上的分析。

1 材料与方法

1.1 材料

研究材料包括尾叶桉和细叶桉 2 个亲本及其杂交产生的 212 个全同胞子代。1996 年秋进行控制授粉, 1997 年夏采种育苗, 9 月底移苗, 11 月底采叶样。

1.2 DNA 提取和 RAPD 反应

取各子代和亲本叶样 1 g 左右用于 DNA 提取。DNA 提取采用 CTAB 法^[11], RA PD 反应参考甘四明等的方法^[12]。备选引物 40 个(OPA P01~20 和 OPA S01~20)(Operon 公司), 利用 2 个亲本和 6 个子代进行引物筛选, 筛选出多态性高、能扩增清晰明亮谱带的 7 个引物用于正式扩增(表 1)。

表 1 正式扩增的随机引物及扩增位点

引物	序列	N_t	N_{ps}	N_{pns}	N_{nps}
OPA P07	5' ACCA CCCGCT 3'	7	5	1	0
OPA P10	5' TGGGTGA TCC 3'	5	2	1	1
OPA P12	5' GTCTTA CCCC 3'	5	1	2	0
OPA S10	5' CCCGTCTAACC 3'	7	2	3	1
OPA S14	5' TCGCA GCGTT 3'	5	3	0	0
OPA S18	5' GTT GCGCA GT 3'	6	4	0	1
OPA S20	5' TCTGCCTGGA 3'	5	4	0	0
合计		7	40	21	3

注: N_t 为扩增出的总谱带数; N_{ps} 为在 2 个亲本间呈多态性且在子代中分离的谱带数; N_{pns} 为在 2 个亲本间呈多态性而在子代中不分离的谱带数; N_{nps} 为 2 个亲本俱有而在子代中分离的谱带数。

1.3 RAPD 标记的分离分析

RA PD 谱带用“0”代表无, “1”代表有进行统计。每条谱带名称包括引物名、谱带长度和强度。谱带强度分为 3 个等级, 3 为最强(表 2)。假设 RA PD 标记为一对等位基因按显性方式遗传, 则具有某条谱带的亲本在该位点上的基因型为 AA 或 Aa, 而无该谱带的亲本为 aa, 由此推断该谱带在子代中的理论分离。用 χ^2 进行适合度检验, $\alpha=0.05$ 。

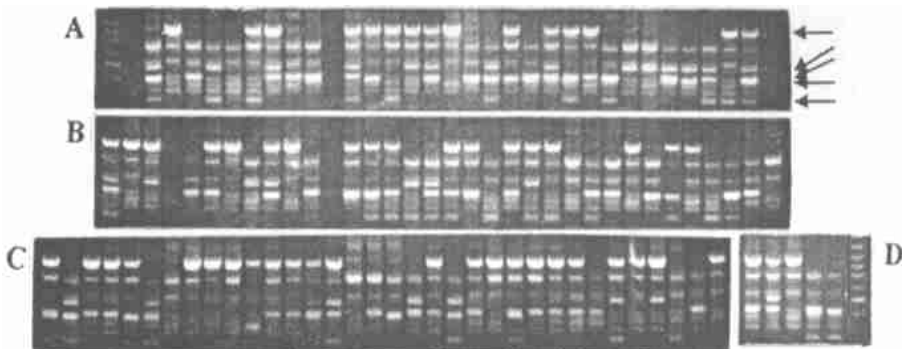
2 结果与讨论

2.1 RAPD 扩增结果

从 40 个引物中筛选出 7 个用于正式扩增。7 个引物共扩增出 40 条谱带, 表 1 列出了不同引物扩增的总谱带数(N_t)、亲本间多态性且在子代中分离的谱带数(N_{ps})、亲本间呈多态性而在子代中不分离的谱带数(N_{pns})和亲本均有而在子代中分离的谱带数(N_{nps})。不同引物扩增的 N_t 和 N_{ps} 有差异, 引物 OPA P07 扩增的 N_t 和 N_{ps} 最高, 这表明进一步筛选引物的必要。图 1 显示了用引物 OPA P07 对 2 个亲本和部分子代的扩增结果。

扩增谱带的长度介于 1.8 kb(引物 OPA S20)~230 bp(引物 OPA S10)。40 条谱带中, 在亲本和子代中均无多态性的有 9 条(22.5%), 在亲本中有多态性而在子代中不分离的有 7 条

(18.5%) (包括母本特有的3条和父本特有的4条), 亲本中呈多态性且在子代中分离的有21条(52.5%), 亲本中均有而在子代中分离的有3条(7.5%)。共有28(21+7)条谱带(70.0%)在亲本中呈多态性, 24条(60.0%)在子代中分离, 这也表明亲本的多态性较高。就杂合性而言, 母本总谱带(位点)28条, 在子代中分离的杂合位点16个, 杂合度为57.1%; 父本总谱带(位点)24条, 杂合位点11个, 杂合度为45.8%, 表明亲本的杂合度较高, 选择该家系用于作图是可行的。



箭头示在子代中分离的标记谱带(从上到下依次为OPA P07-830/3、-490/2、-420/3、-400/3 和-250/2)。A板第2泳道为母本尾叶桉(因缺失补在D板第1泳道), 第3泳道为父本细叶桉,A板其余泳道及B板和C板均为子代,D板依次为前三板缺失的样品的补充。A板第1泳道和D板最后泳道为标记DNA长度和Marker(MB I), 从上到下显示的谱带长度依次为1031、900、800、700、600、500、400 和300 bp。

图1 引物OPA P07对2个亲本和99个子代的扩增结果

2.2 RAPD 标记的分离

不同RA PD 标记在子代中的分离比例见表2。利用 χ^2 检验RA PD 标记的遗传和分离是否符合一对等位基因的孟德尔方式, 显著水平为 $\alpha=0.05$ 。

24个分离位点按其分离特点和适合度检验可以分为以下4组: 第I组9个位点符合1:1分离; 第II组2个位点符合3:1分离; 第III组12个位点偏离1:1分离, 其中10个偏母本分离, 2个偏父本分离; 第IV组1个位点偏离3:1分离。可见, 本研究中偏分离的比例较高, 共有13个位点偏分离。值得指出的是, 偏离1:1分离的12个位点中(第III组), 绝大多数位点的分离表现为一种趋母本的现象。例如, 位点OPA P07-830/3为母本特有谱带, 在子代中大多数个体具有此位点(125/87, $p < 0.01$); 而位点OPA P07-490/2为父本特有谱带, 母本没有, 则子代中大多数个体表现与母本一致(66/146, $p < 0.005$)。可能母本对RA PD 标记的遗传有一定的影响。

RA PD 分子标记技术的一个不足是扩增中随机引物在退火时容易与模板发生错配, 导致重复性差^[13]。这可以通过严格控制RA PD 实验体系的扩增程序和只记录重复性好的强带得到改进。本研究中, 补充的几个样品都是另外配制和扩增的(图1的D板), 其带型与其它几个板基本一致, 说明重复性较好, 与正式扩增的样品具有较高的可比性。

本研究的偏分离位点的比例仍相当高。分子标记位点的偏分离现象已在较多植物中报道^[14]。其可能原因是: (1)非等位位点的共带现象(Co-migrating bands), 尤其对RA PD 和AFLP 等高产标记系统^[15]; (2)研究群体偏小^[6]; (3)杂种中有配子选择或隐性纯合致死的等位

表2 24个RAPD位点的分离和适合度检验

分组(位点数)	位 点	母本	父本	分离比(1s : 0s)	期望比值	χ^2	概 率
第I组 (9)	OPA P07-420/3	1	0	107 : 105	1 : 1	0.0047	> 0.90
	OPA P10-670/2	1	0	101 : 111	1 : 1	0.3821	0.50~ 0.75
	OPA P12-580/3	1	0	117 : 95	1 : 1	2.0802	0.10~ 0.25
	OPA S10-1000/2	1	0	104 : 108	1 : 1	0.0212	0.75~ 0.90
	OPA S10-880/3	1	0	119 : 93	1 : 1	1.4741	0.10~ 0.25
	OPA S18-580/2	1	0	120 : 92	1 : 1	3.4387	0.05~ 0.10
	OPA S18-550/3	1	0	118 : 94	1 : 1	2.4953	0.10~ 0.25
	OPA S20-500/2	0	1	102 : 110	1 : 1	0.2311	0.50~ 0.75
	OPA S20-490/2	1	0	92 : 120	1 : 1	3.4387	0.05~ 0.10
第II组 (2)	OPA S18-290/1	1	1	151 : 61	3 : 1	1.4151	0.10~ 0.25
	OPA S10-1200/3	1	1	171 : 41	3 : 1	3.3270	0.05~ 0.10
第III组 (12)	OPA P07-830/3	1	0	125 : 87	1 : 1	6.4575	0.005~ 0.01*
	OPA P07-490/2	0	1	66 : 146	1 : 1	29.4387	< 0.005*
	OPA P07-400/3	0	1	67 : 145	1 : 1	27.9670	< 0.005*
	OPA P07-250/2	0	1	77 : 135	1 : 1	15.3255	< 0.005*
	OPA P10-570/1	1	0	123 : 89	1 : 1	5.1368	0.01~ 0.025*
	OPA S14-1350/2	0	1	71 : 141	1 : 1	22.4575	< 0.005*
	OPA S14-950/3	1	0	138 : 74	1 : 1	18.7217	< 0.005*
	OPA S18-490/2	1	0	139 : 73	1 : 1	19.9292	< 0.005*
	OPA S20-1030/2	0	1	73 : 139	1 : 1	19.9292	< 0.005*
	OPA S20-430/2	1	0	136 : 76	1 : 1	16.4198	< 0.005*
	OPA S14-750/2	0	1	146 : 66	1 : 1	29.4387	< 0.005*
	OPA S18-630/3	0	1	145 : 67	1 : 1	29.9670	< 0.005*
第IV组(1)	OPA P10-530/2	1	1	134 : 78	3 : 1	15.1006	< 0.005*

注: * 示显著偏离 0.05 水平。

基因的存在^[16~18]; (4)与研究材料有关, 如种间杂种比种内杂种的偏分离比例大^[19]; (5)单个亲本的细胞质基因组的细微影响^[10]; (6)染色体在杂交过程中存在结构重排、缺失、插入和突变^[20,21]。本研究中, 亲本树种尾叶桉与细叶桉遗传差别较大, 尾叶桉主要天然分布于印度尼西亚及附近岛屿, 细叶桉主要天然分布于澳大利亚, 且两树种在树皮颜色、叶色、叶形、叶子大小及果形等方面也差别明显, 因此亲本的较大遗传差异可能是导致 RAPD 标记偏分离严重的重要原因。另外, Heun 和 Helentjaris^[10]为了解决偏分离的问题, 提出判读位点时可把 RAPD 标记分为“质量多态性”(Unambiguous polymorphism)和“数量多态性”(Quantitative polymorphism), 前者指直观的有/无谱带, 后者指谱带强度的多态性, 即把相同长度的片段按强度不同而分别统计。这虽可在一定程度上减少偏分离位点的数量, 但在实际操作中, 谱带强弱的判断有很大的主观性, 所以在实用中难于把握, 较少应用。

有的研究报道, 子代中有非亲 RAPD 标记出现, 这是因为两亲本的不同长度的等位核苷酸序列在子代形成异源双链体^[22,23]。但在本研究中, 子代的所有谱带均可在亲本中找到, 亲本的谱带也可在子代中找到, 表明 RAPD 位点具有可靠的遗传性。同时, 有一定数量的谱带服从孟德尔的一对等位基因的遗传规律, 表明 RAPD 可以作为遗传标记^[10,22], 并且第 I 组的位点是将来遗传图谱构建的有用标记。这为利用 RAPD 标记进行桉树遗传连锁图谱构建提供了理论支持。

参考文献:

- [1] Williams J G K, Kubelik A R, Livak K J, et al. DNA polymorphisms amplified by arbitrary primers are useful as genetic markers [J]. Nucleic Acids Res, 1990, 18(22): 6531~ 6535.
- [2] Welsh J, McClelland M. Fingerprinting genomes using PCR with arbitrary primers [J]. Nucleic Acids Res, 1990, 18(24): 7213~ 7218.
- [3] 卢江. 随机放大多态性DNA(RAPD)——一种新的遗传标记技术[J]. 植物学报, 1993, 35(增刊): 119~ 127.
- [4] 邹喻萍. RAPD分子标记简介[J]. 生物多样性, 1995, 3(2): 104~ 108.
- [5] 甘四明, 施季森, 白嘉雨, 等. 林木分子标记研究进展[J]. 林业科学, 1998, 11(4): 428~ 434.
- [6] Carlson J E, Tulsieram L K, Glaubitz J C, et al. Segregation of random amplified DNA markers in F_1 progeny of conifers [J]. Theor Appl Genet, 1991, 83(2): 194~ 200.
- [7] Grattapaglia D, Sederoff R. Genetic linkage maps of *Eucalyptus grandis* and *Eucalyptus urophylla* using a pseudo-testcross mapping strategy and RAPD markers [J]. Genetics, 1994, 137(4): 1121~ 1127.
- [8] Roy A, Frascaria N, MacKay J, et al. Segregating random amplified polymorphic DNA s (RAPDs) in *Betula alleghaniensis* [J]. Theor Appl Genet, 1992, 85(2): 173~ 180.
- [9] Reiter R S, Williams J G K, Feldmann K A, et al. Global and local genome mapping in *A rabidopsis thaliana* by using recombinant inbred lines and random amplified polymorphic DNA s [J]. Proc Natl Acad Sci U SA, 1992, 89(4): 1477~ 1481.
- [10] Heun M, Helentjaris T. Inheritance of RAPDs in F_1 hybrids of corn [J]. Theor Appl Genet, 1993, 85(6): 961~ 968.
- [11] Doyle J J, Doyle J L. Isolation of plant DNA from fresh tissue [J]. Focus, 1990, 12(1): 13~ 14.
- [12] 甘四明, 施季森, 白嘉雨, 等. 尾叶桉和细叶桉无性系RAPD指纹图谱构建研究[J]. 南京林业大学学报, 1999, 23(1): 11~ 14.
- [13] Neale D B, Harry D E. Genetic mapping forest trees: RFLPs, RAPDs and beyond [J]. AgBiotech News Inf, 1994, 6: 107~ 114.
- [14] Xu Y. Quantitative trait loci separating, pyramiding, and cloning [J]. Plant Breeding Reviews, 1997, 15: 85~ 139.
- [15] Virk P S, Ford-Lloyd B V, Newbury H J. Mapping AFLP markers associated with subspecific differentiation of *Oryza sativa* (rice) and an investigation of segregation distortion [J]. Heredity, 1998, 81(3): 613~ 620.
- [16] Snieszko R A, Zobel B J. Seedling height and diameter variation of various degrees of inbred and outcross progenies of loblolly pine [J]. Silvae Genet, 1988, 37(1): 50~ 60.
- [17] Lanham P G. Estimation of heterozygosity in *R ibes nigrum* L. using RAPD markers [J]. Genetica, 1996, 98(1): 193~ 197.
- [18] O'Leary M C, Boyle T H. Segregation distortion at isozyme locus *Lap-1* in *S chlum bergera* (Cactaceae) is caused by linkage with the gametophytic self-incompatibility (S) locus [J]. J Hered, 1998, 89(3): 206~ 210.
- [19] Byrne M, Murrell J C, Allen B. An integrated genetic linkage map for eucalypts using RFLP, RAPD and isozyme markers [J]. Theor Appl Genet, 1995, 91(6~ 7): 869~ 875.
- [20] 刘孟军, Shin Yong-Uk, Yae Byeong-Woo. RAPD标记在苹果属种间杂交一代的分离方式[J]. 园艺学报, 1998, 25(3): 214~ 219.
- [21] Faure S, Noyer J L, Horry J P. A molecular marker-based linkage map of diploid bananas (*M uso acum inata*) [J]. Theor Appl Genet, 1993, 87(4): 517~ 526.
- [22] Riedy M F, Hamilton W J, A quadro C F. Excess of non-parental bands in offspring from known primate pedigrees assayed using RAPD PCR [J]. Nucleic Acids Res, 1992, 20(2): 918~ 924.
- [23] Ayiliffe M A, Lawrence G J, Ellis J G, et al. Heteroduplex molecules formed between allelic sequences cause non-parental RAPD bands [J]. Nucleic Acids Res, 1994, 22(9): 1632~ 1636.

Segregation of RAPD Markers: A Case in Interspecific Cross of *Eucalyptus*

GAN Si-ming¹, SHI Jia-sen², BAI Jia-yu¹, WU Kun-ming¹, WU Ju-ying¹

(1. Research Institute of Tropical Forestry, CAF, Guangzhou 510520, Guangdong, China;

2 Nanjing Forestry University, Nanjing 210037, Jiangsu, China)

Abstract Seven 10-mer primers were used for analysis on segregation of RAPD (Random amplified polymorphic DNA) markers in an interspecific F₁ population of *Eucalyptus urophylla* × *E. tereticornis*, including 2 parents and 212 sibs. Of the total 40 fragments amplified, 28 (70%) were polymorphic between parents and 24 (60%) segregant in the sibs, indicating a high level of polymorphism and heterozygosity at RAPD loci between the two parents. There were 27 markers segregating in a Mendelian pattern, including 9 markers presenting in both parents and all sibs (representing a genotypic combination AA × AA, AA × Aa or Aa × AA), 7 markers polymorphic between the parents but homologous in all sibs (AA × aa or aa × AA), 2 markers presenting in both parents and segregating in the sibs in a ratio 3 : 1 (Aa × Aa), and 9 markers polymorphic between the parents and segregating in the sibs in a ratio 1 : 1 (Aa × aa or aa × Aa). There were 13 markers segregating in a non-Mendelian pattern, including 12 markers polymorphic between parents but segregating in the sibs in a ratio distortive from 1 : 1, and 1 markers homologous in both parents but segregating in the sibs in a ratio distortive from 3 : 1. Those markers that were polymorphic between parents and segregating 1 : 1 in the sibs, following a pseudo-testcross configuration, could be potentially useful for genetic linkage map construction of the representative species, which would lay a theoretical basis for genetic linkage map construction using RAPD markers and F₁ population.

Key words: RAPD marker; *Eucalyptus*; segregation